

Лаборатория мезонной физики-2003 год

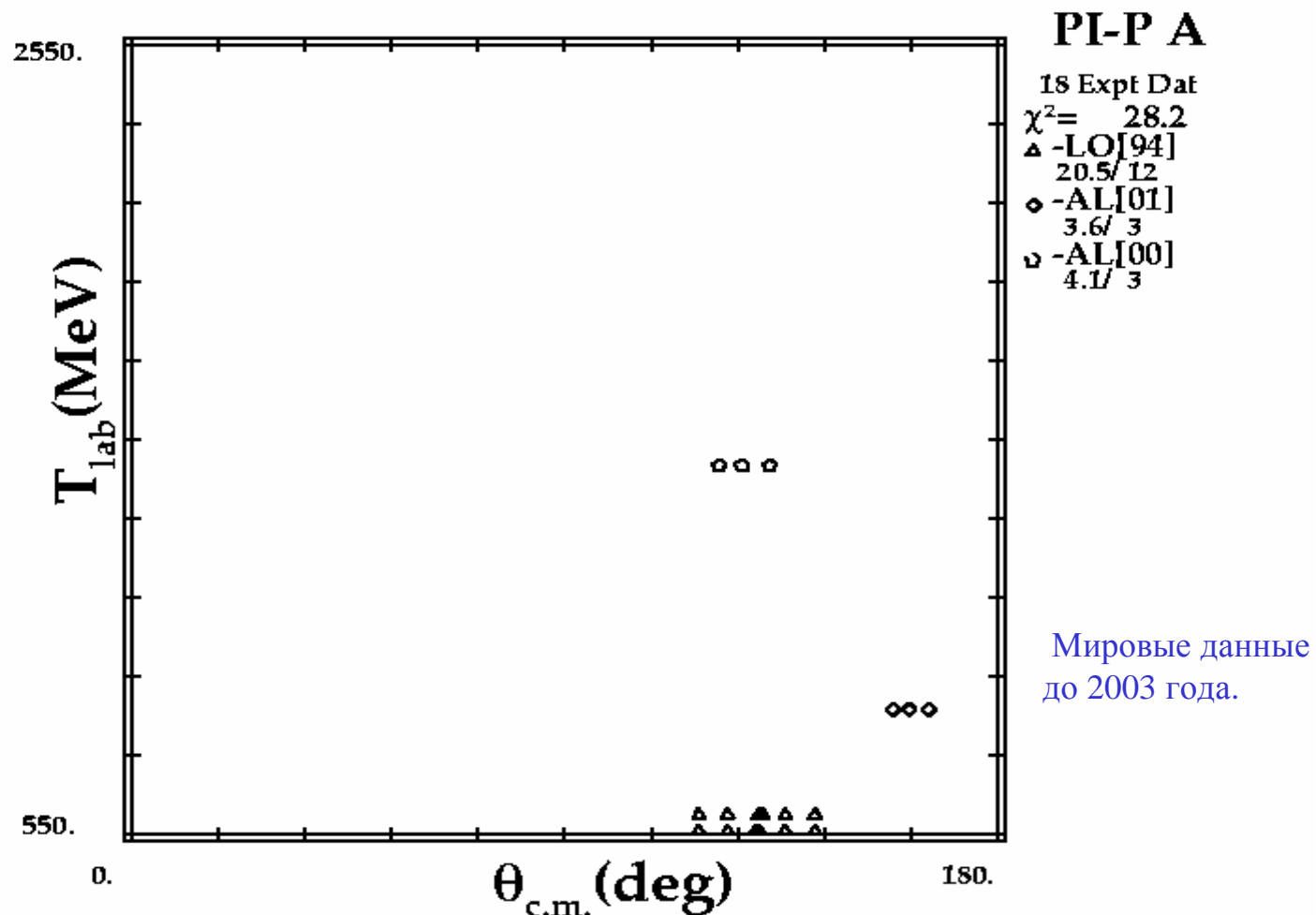
Содержание.

(Лаборатория мезонной физики)

- 1.Установка SPIN-P02 (ИТЭФ).**
- 2.Изучение реакции перезарядки (ПИЯФ).**
- 3.Crystal Barrel (ISKP, Bonn).**
- 4.Crystal Ball (Univ. Mainz).**
- 5.Новый ПВА для пион-нуклонного взаимодействия.**
- 6. Проект эксперимента для J-PARC.**

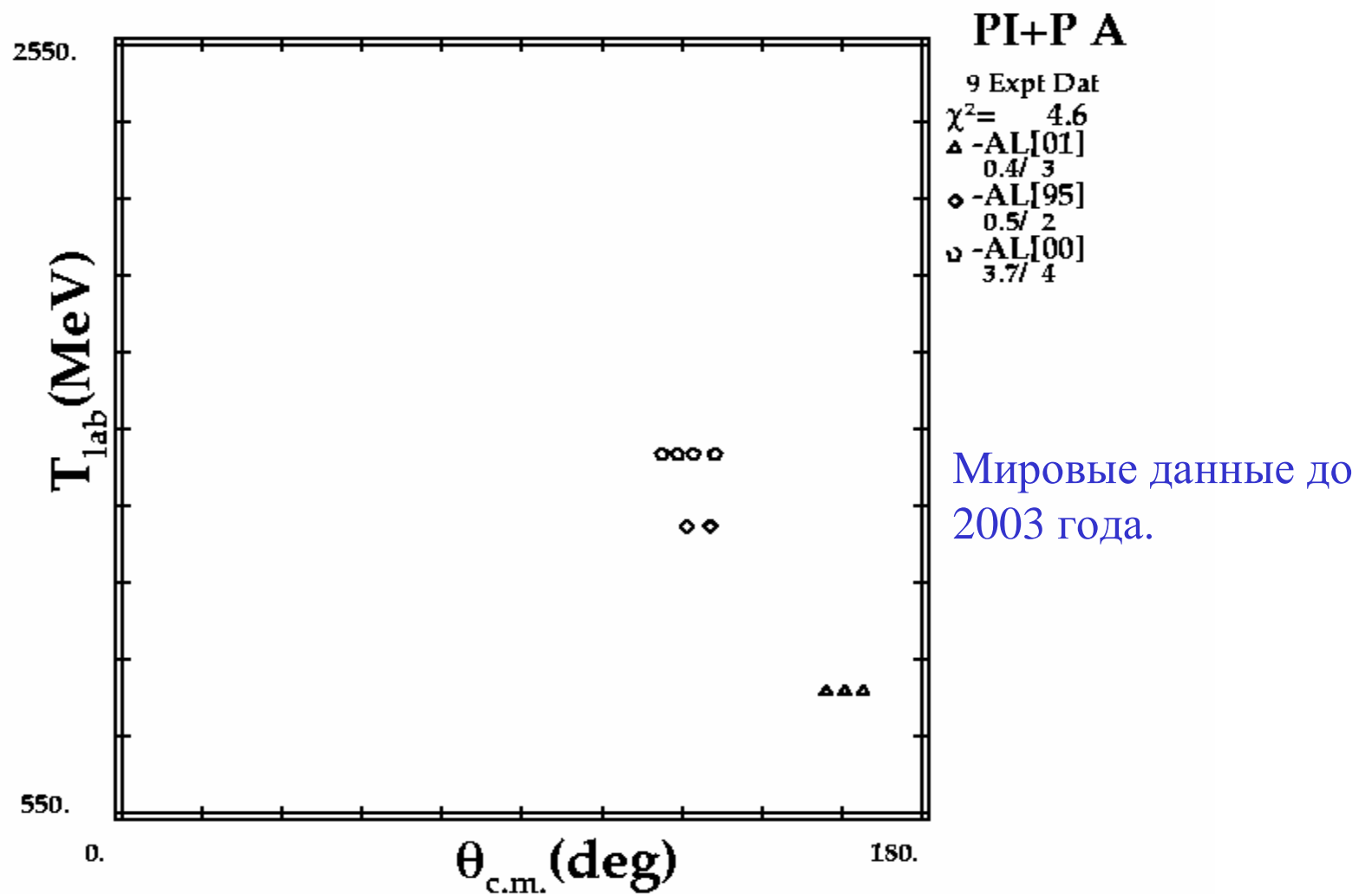
Лаборатория мезонной физики - 2003 год

Параметр вращения спина A(-). A(-)



Лаборатория мезонной физики- 2003 год

Параметр вращения спина A(+). A(+)

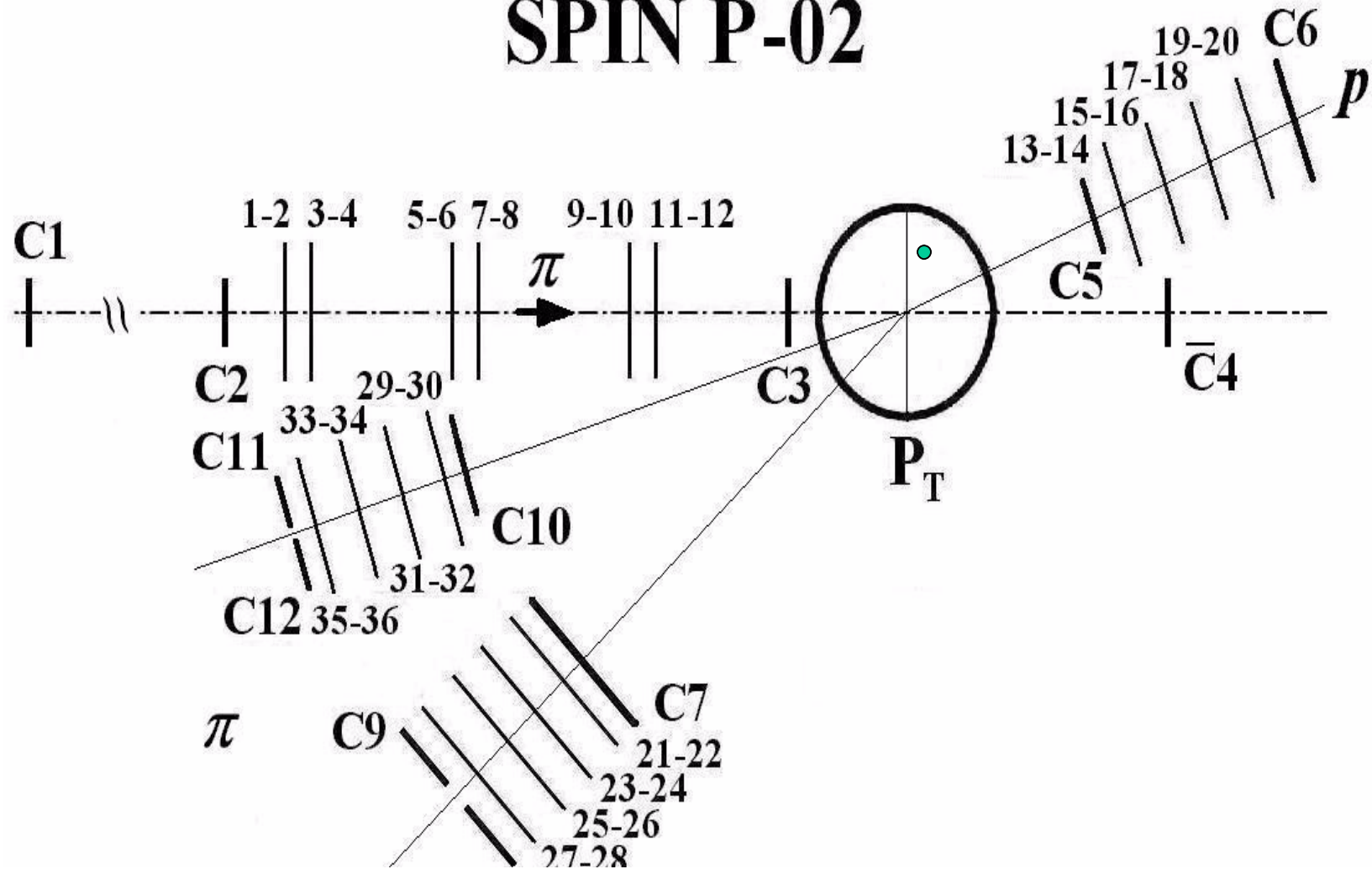


Лаборатория мезонной физики-2003 год

Схема эксперимента.

P(-)-1

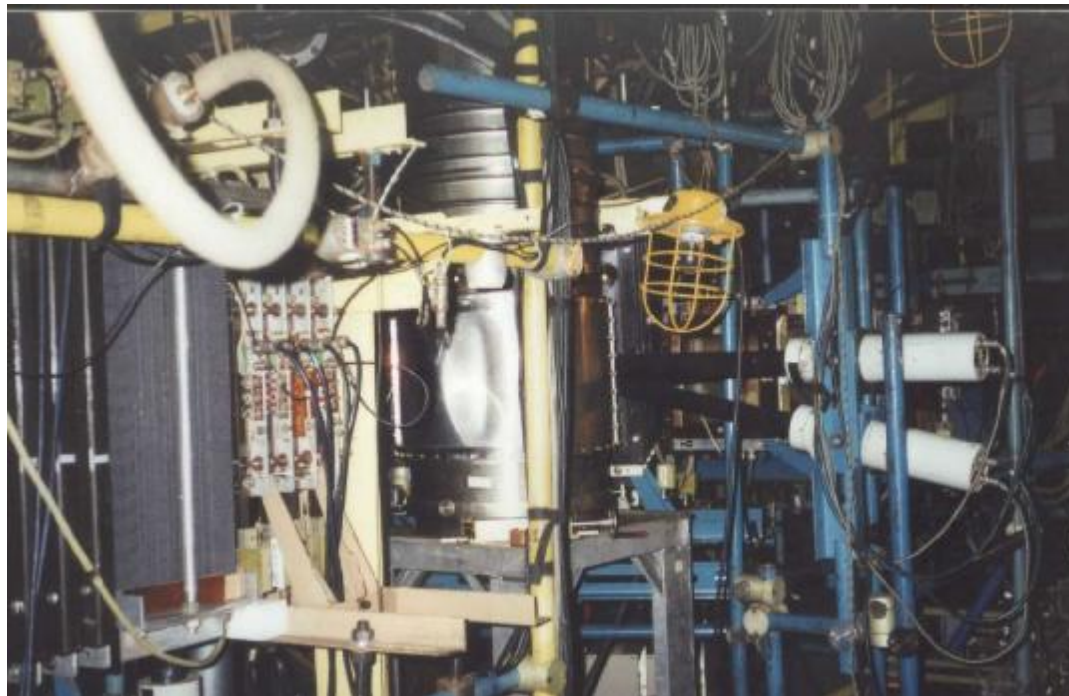
SPIN P-02



Лаборатория мезонной физики- 2003 год

P(-)-2

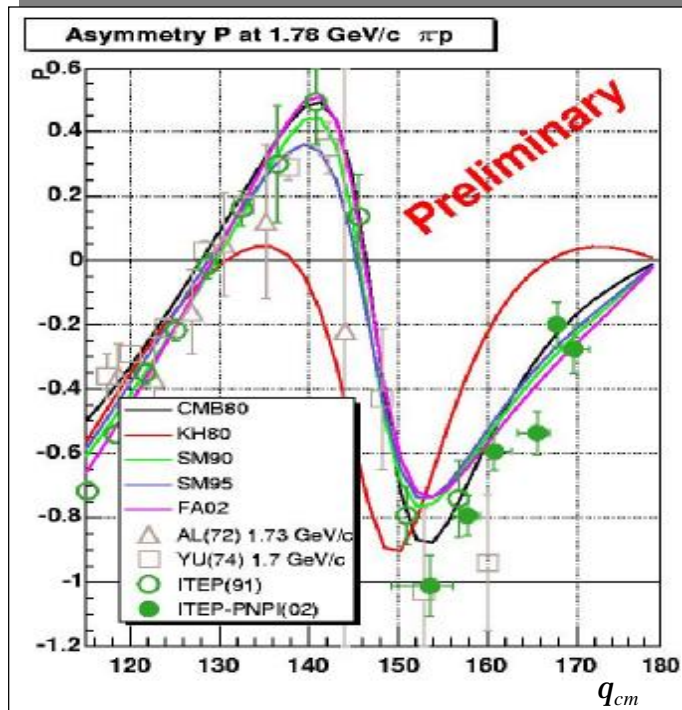
Установка SPIN-P02 (ПИЯФ-ИТЭФ).



Лаборатория мезонной физики- 2003 год

P(-)-3

Results: Asymmetry P at 1.78 GeV/c in p^-p

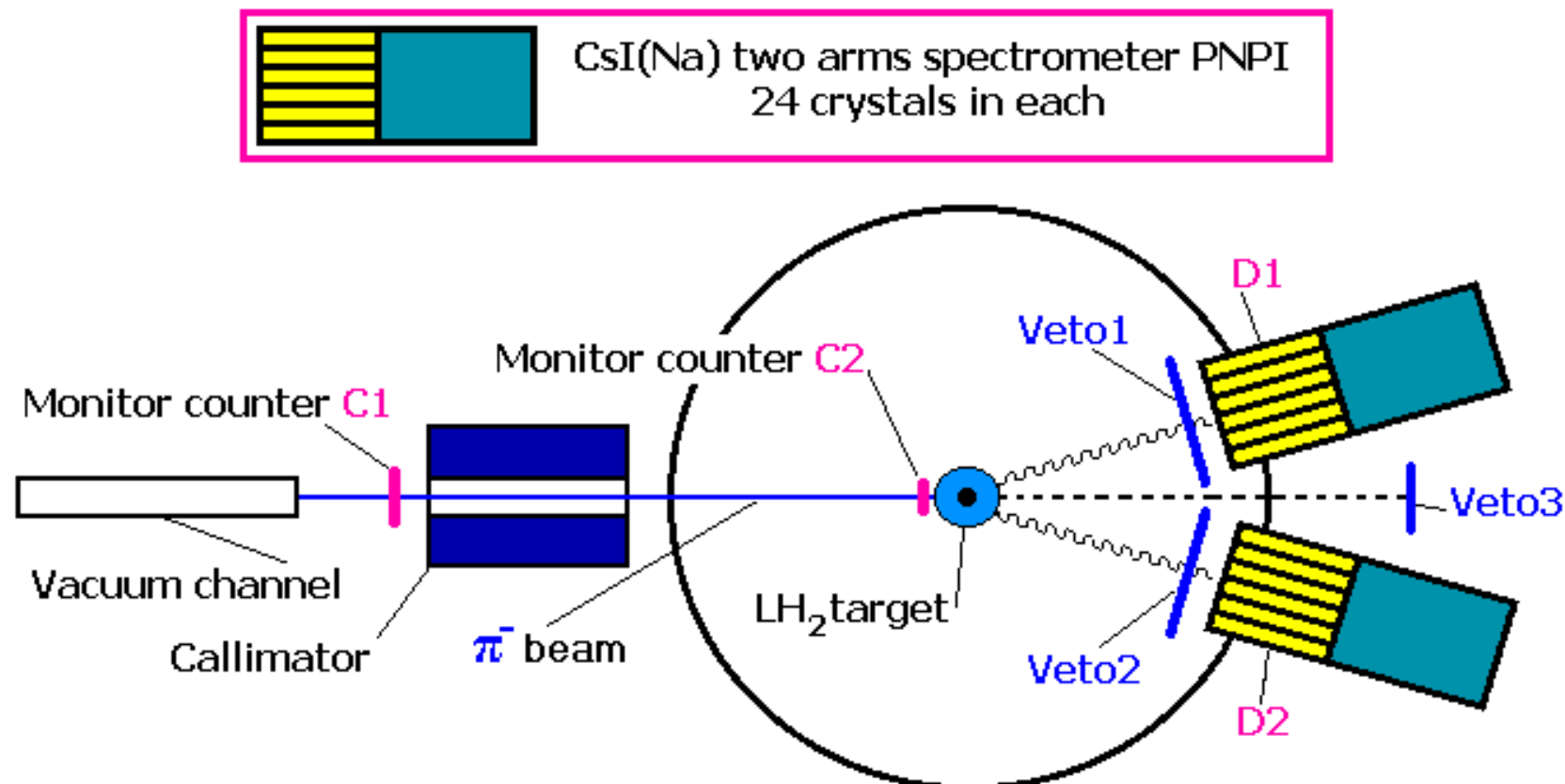


- ∅ Correspondence to CMB80 and VPI/GWU recent analysis
- ∅ Significant deviation from KH80
- ∅ Agreement with our previous data

DUBNA-SPIN-03

Результаты измерений 2003 года
(ПИЯФ-ИТЭФ)

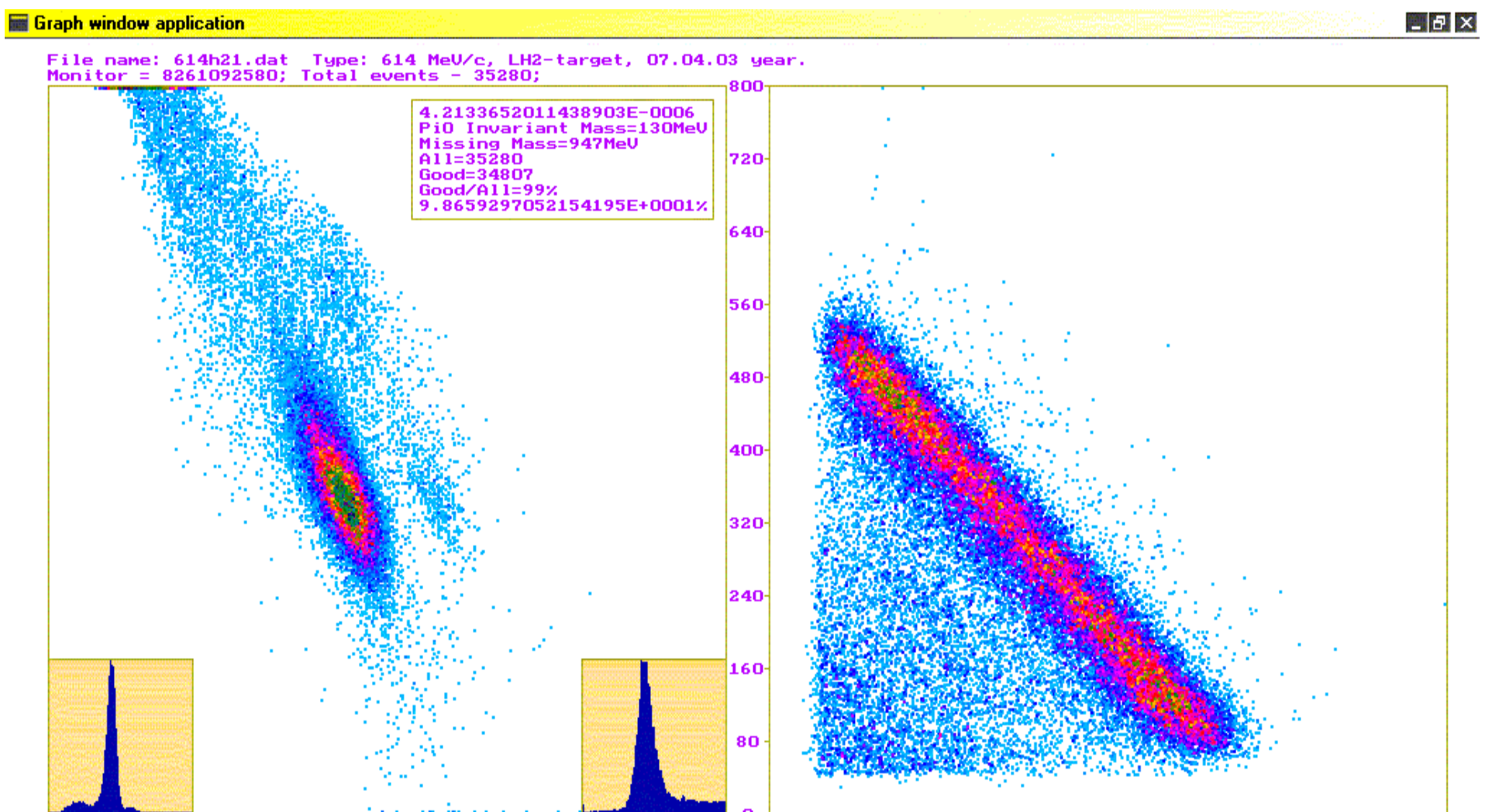
Схема установки (ПИЯФ)



Trigger is C1&C2&D1&D2&Veto1&Veto2&Veto3
for charge exchange reaction

Лаборатория мезонной физики - 2009 год

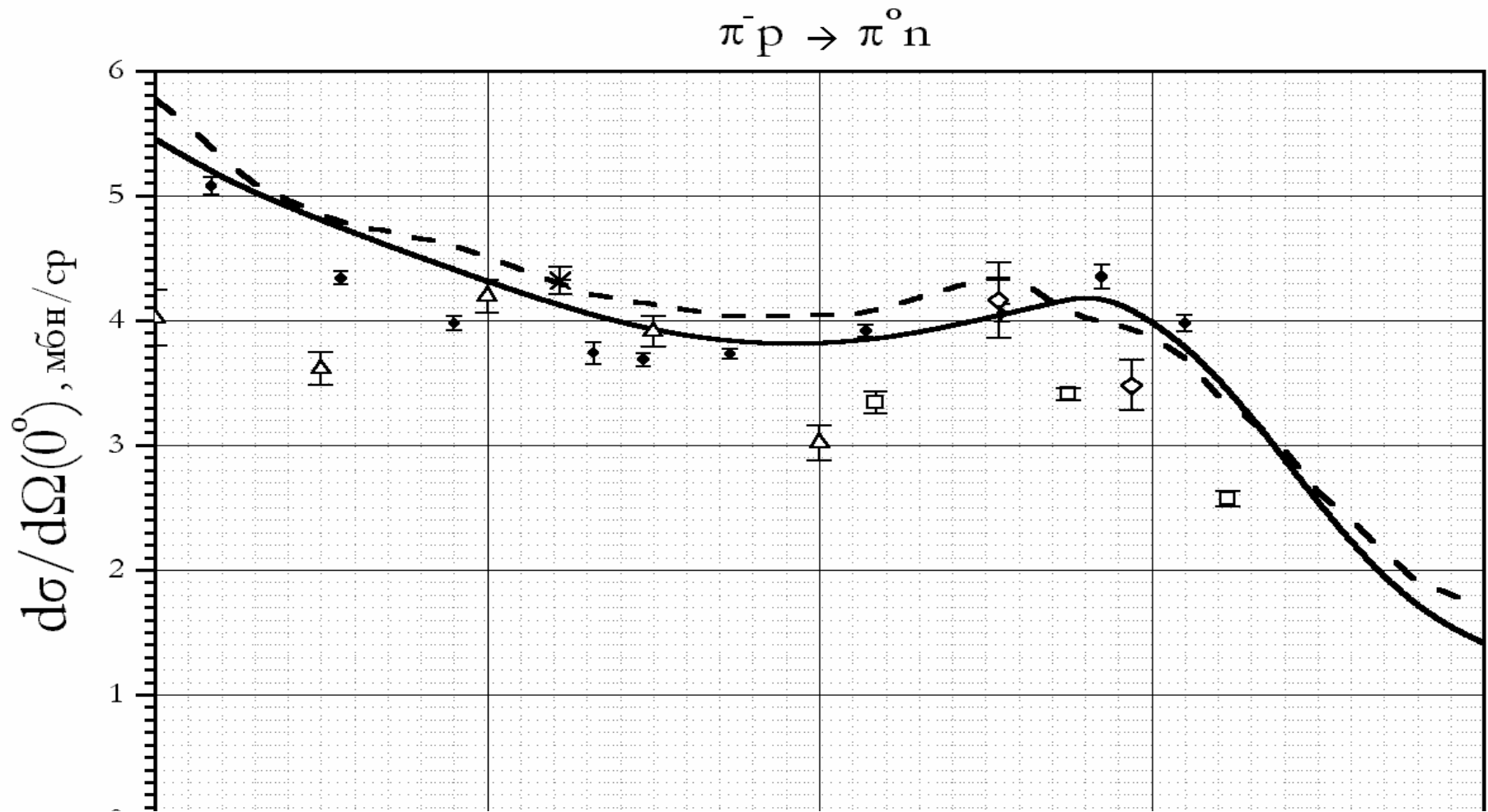
Распределение событий, $\pi(-)p \rightarrow \pi(0)n$ ПИЯФ-2



Лаборатория мезонной физики-2003 год

Результаты ПИЯФ

ПИЯФ-3



CB-ELSA-Project



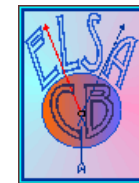
I Main Concept

- » Exploration of Reactions $p\ g \rightarrow (pX) \rightarrow p\ np^0, p\ ng$
- » 4p Detector for Photon's up to 1.2 GeV
- » Possible Energy Range from 600 MeV \rightarrow 3.2 GeV
- » Photon flux up to $10^8 / \text{sec}$
- » Possible Polarisation Experiments with Polarised Photons and Polarised Targets
- » Combination of different Forward Detectors possible
 - TAPS (500 BaF₂-Crystals for Photon Detection)
 - EMS (Magn. Spectrometer for Proton Detection in forward Direction and Electron Scattering Experiments)

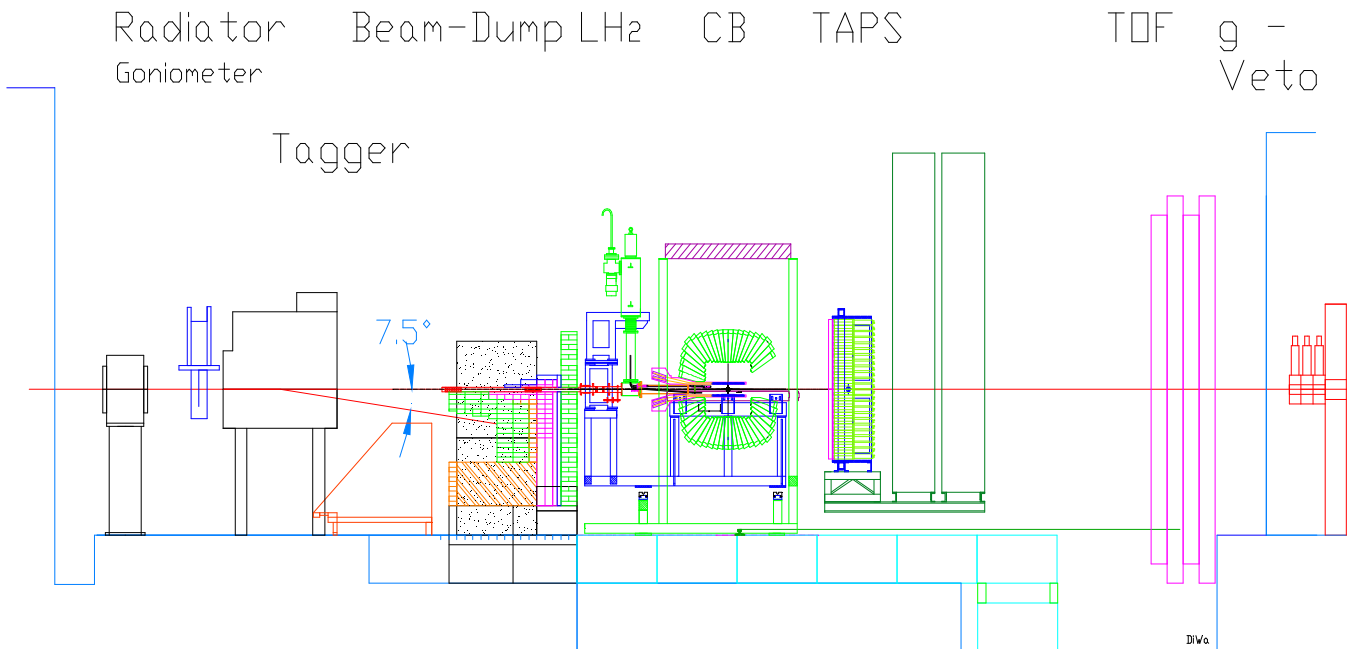
Лаборатория мезонной физики - 2003 год

CB-E-2

CB-ELSA-Project

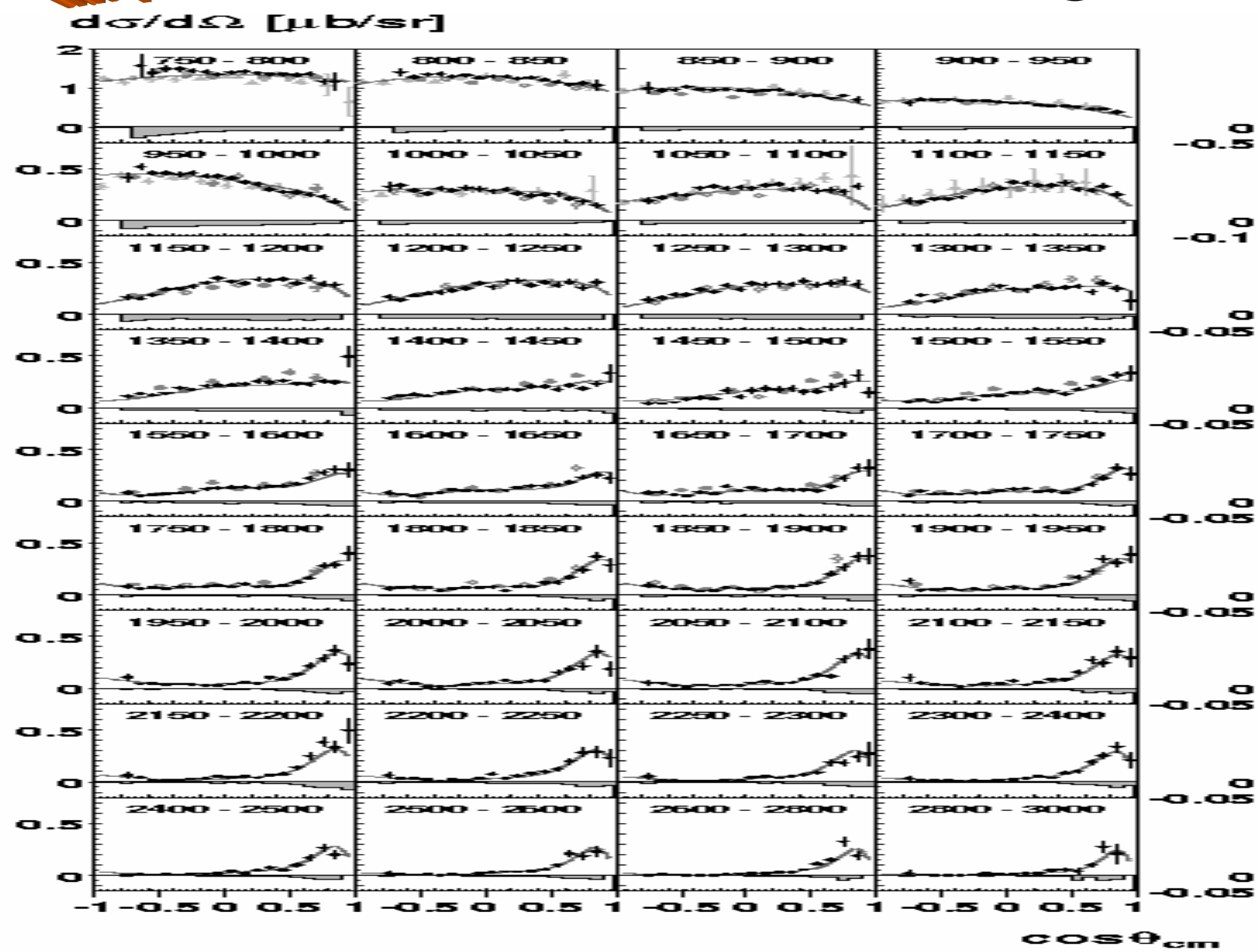


Present Configuration

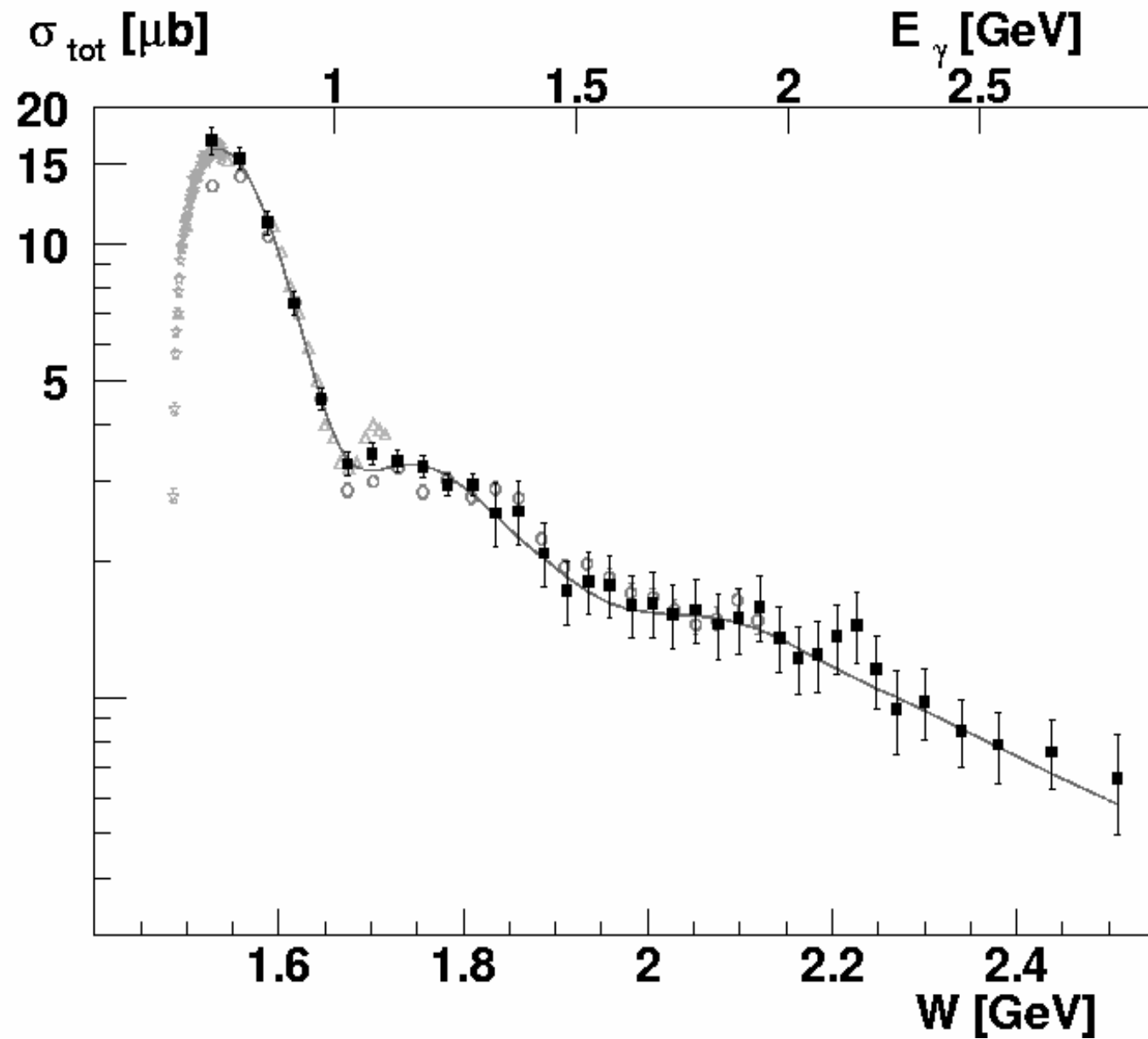


Лаборатория мезонной физики - 2009 год

CB-E-3



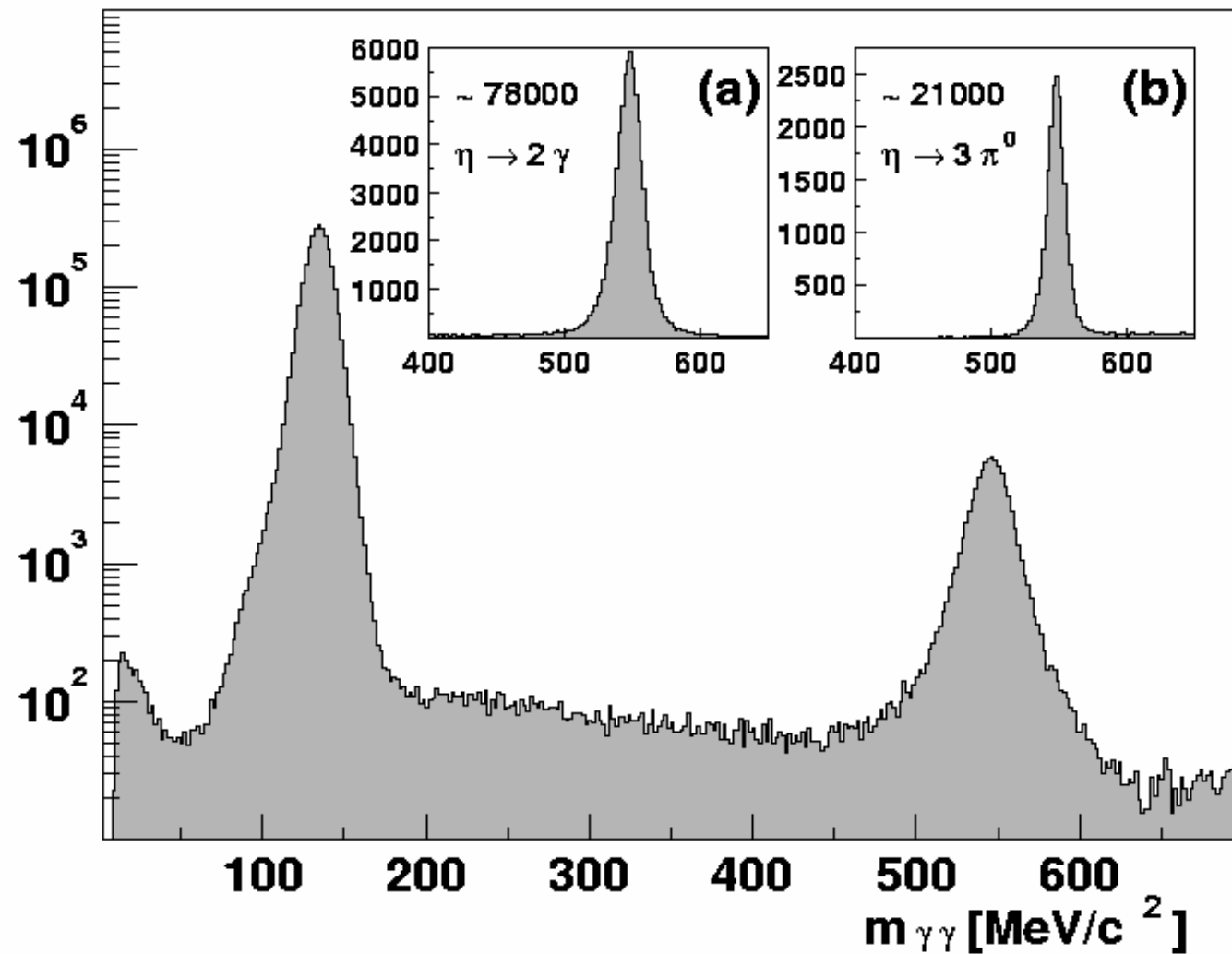
CB-E-4



Лаборатория мезонной физики-2003 год

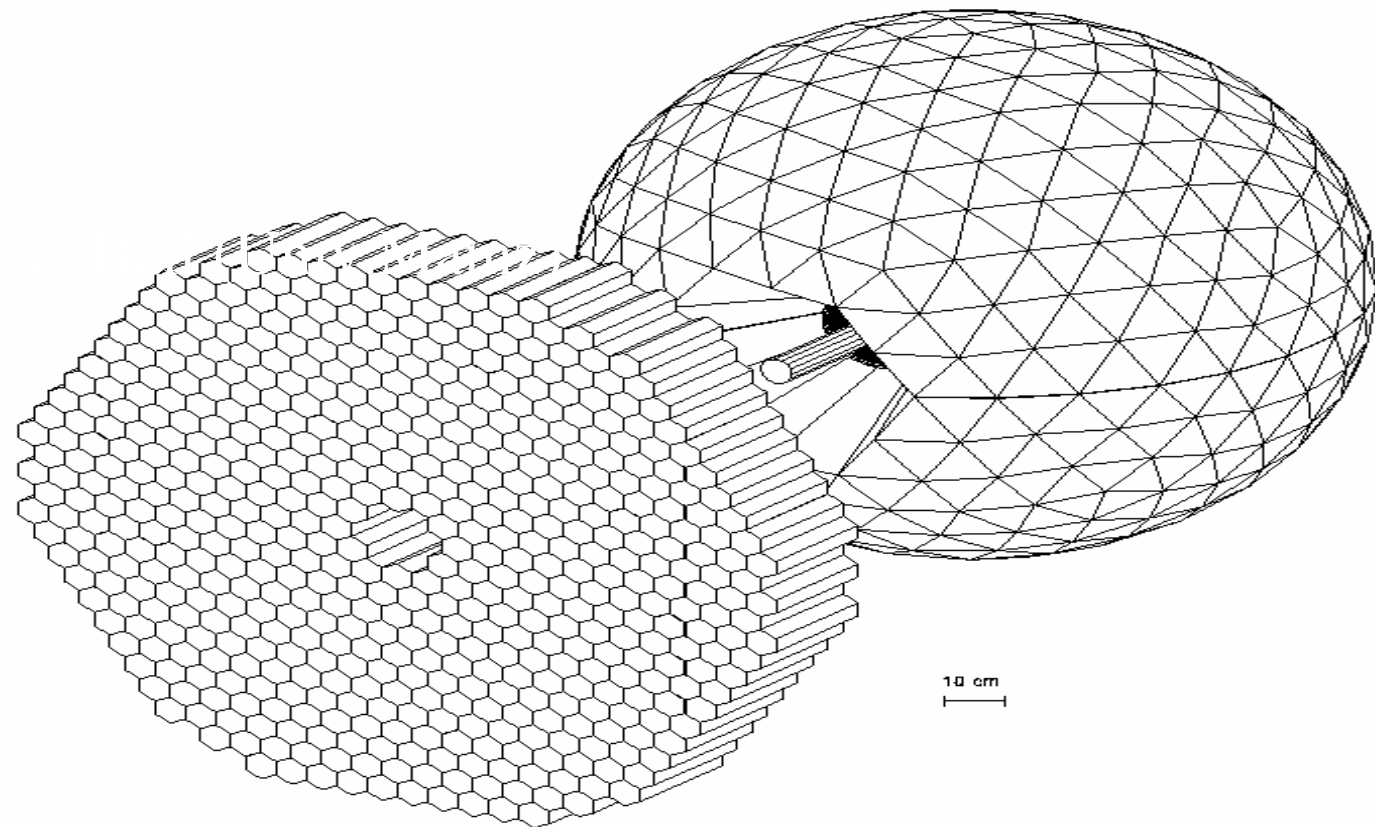
Crystal Barrel (ISKP, Bonn)

CB-E-5



Лаборатория мезонной физики- 2003 год

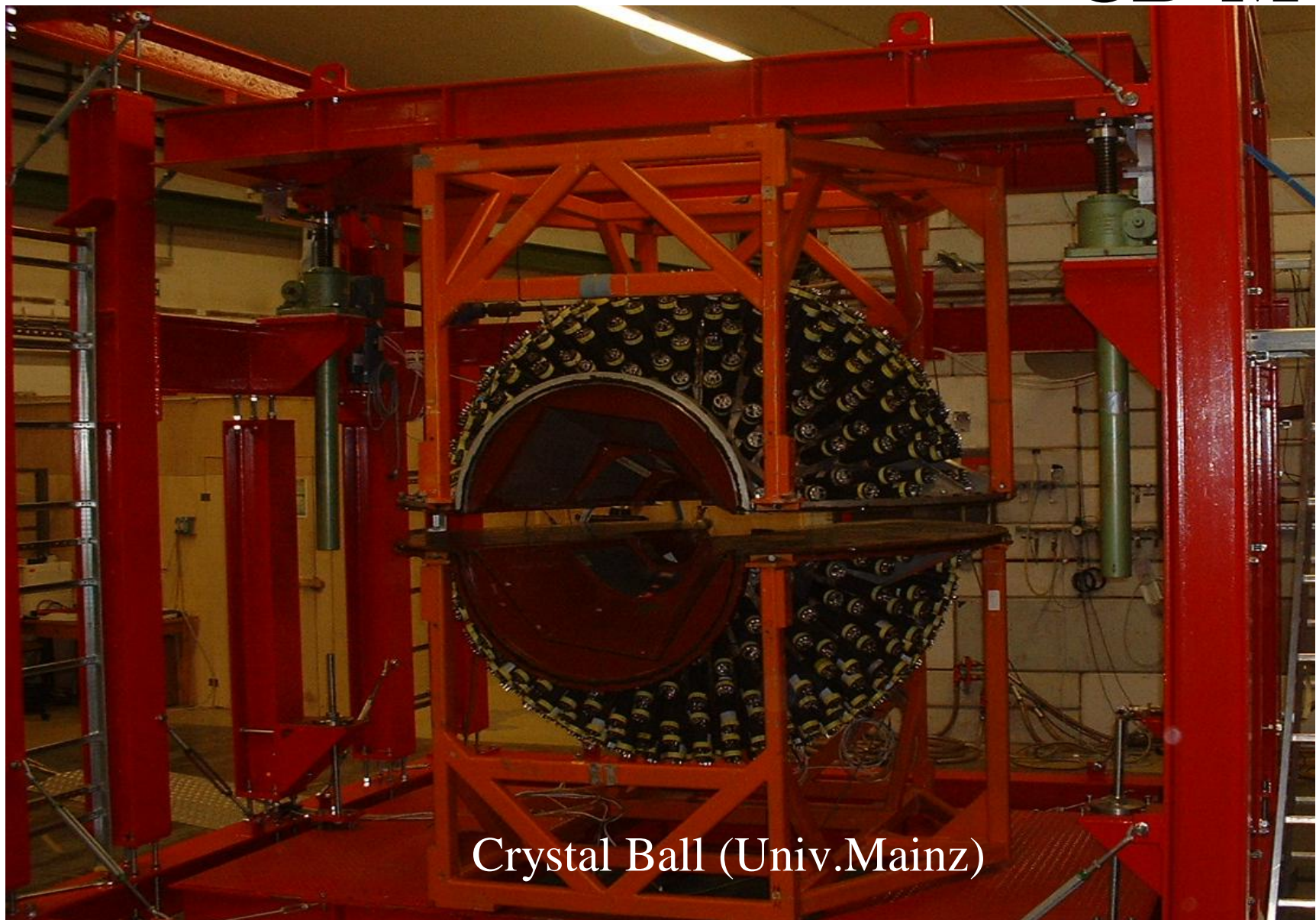
CB-M-1



Crystal Ball (Univ.Mainz)

лаборатория мезонной физики - 2009 г.

CB-M-2

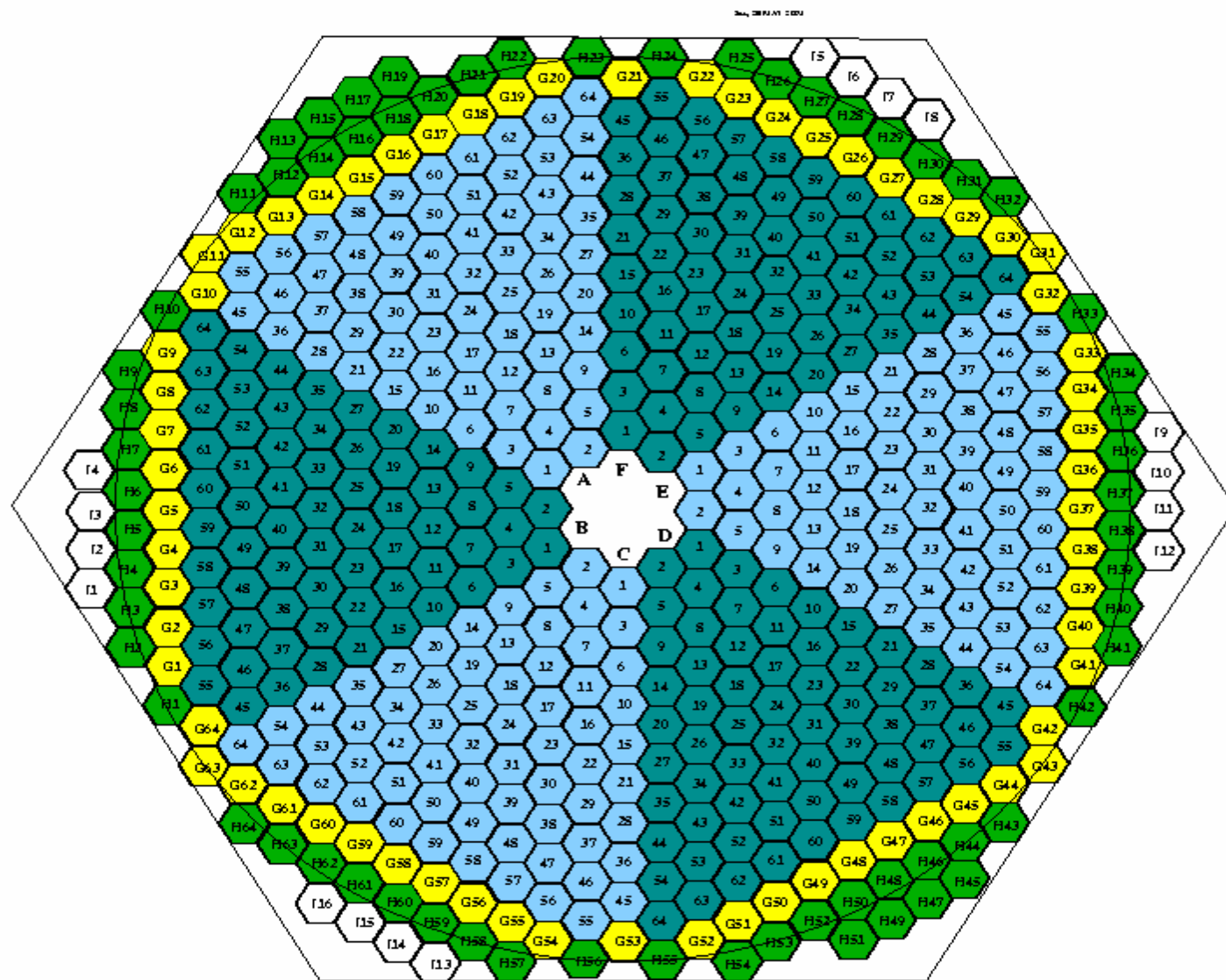


Crystal Ball (Univ.Mainz)

Лаборатория мезонной физики ГУРУ

CB-M-3

TAPS@ELSA 2001as seen from TARGET

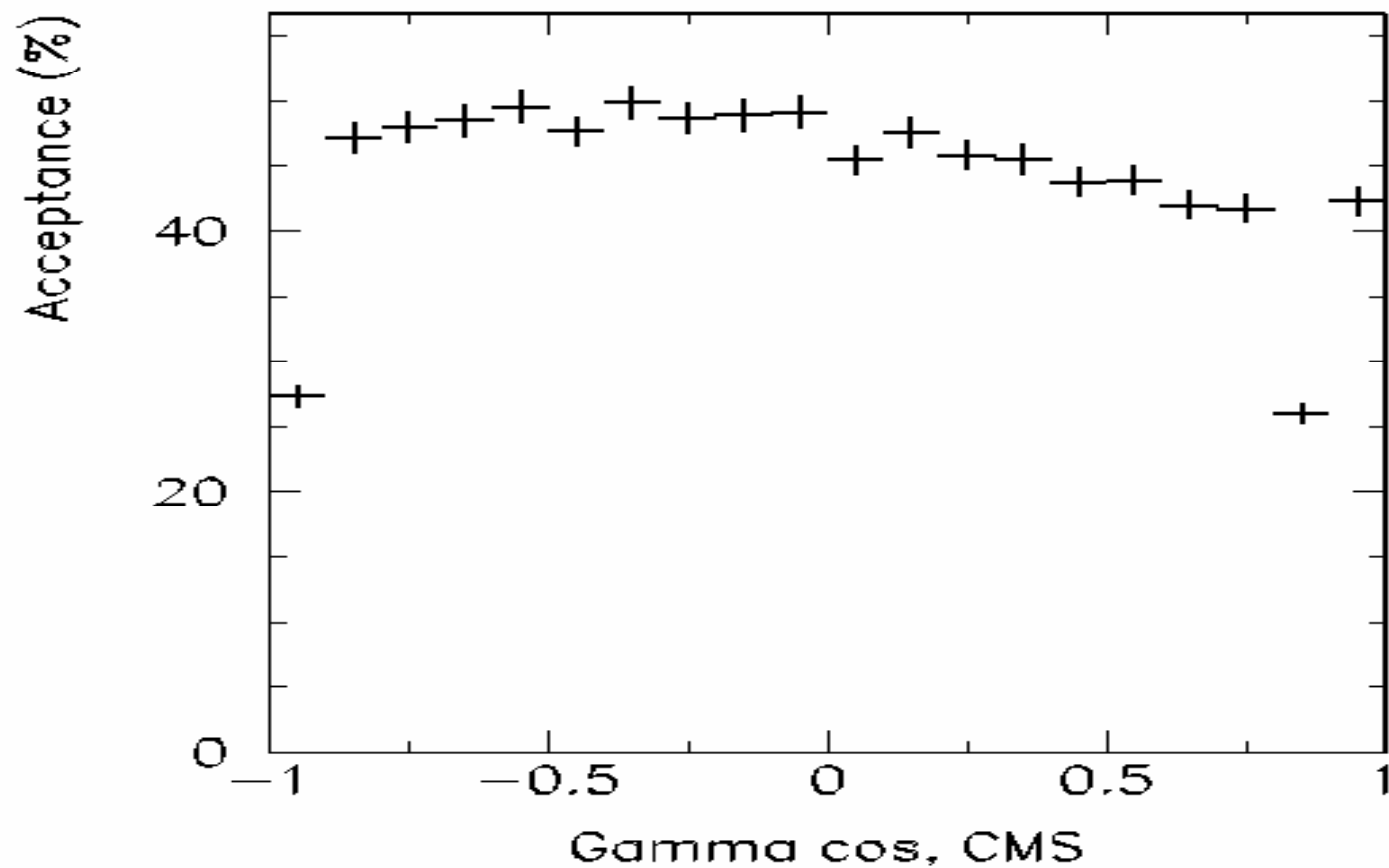


Crystal Ball (Univ.Mainz)

Лаборатория мезонной физики-2003 год

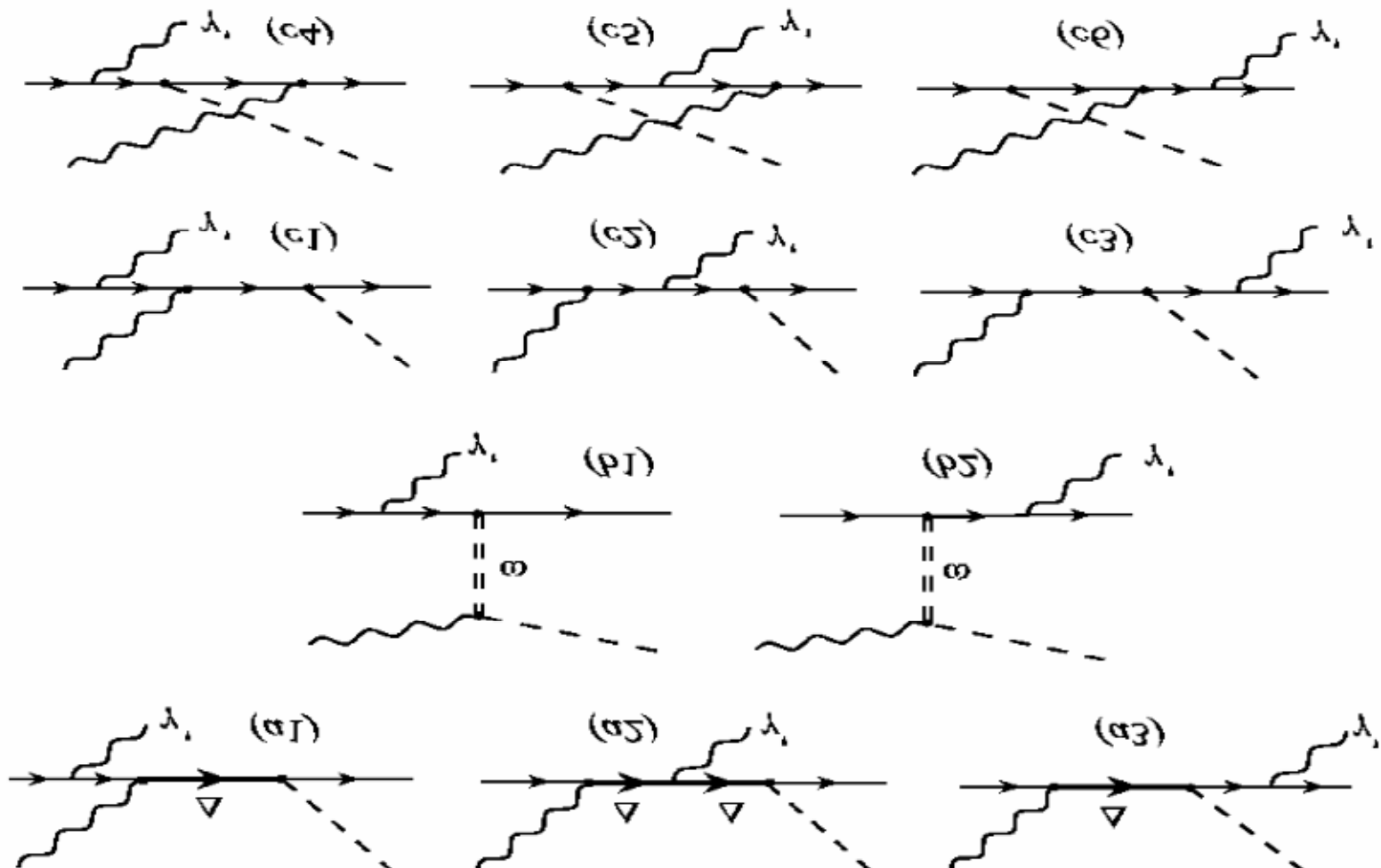
CB-M-4

Crystal Ball (Univ.Mainz)



Лаборатория мезонной физики-2003 год

CB-M-5

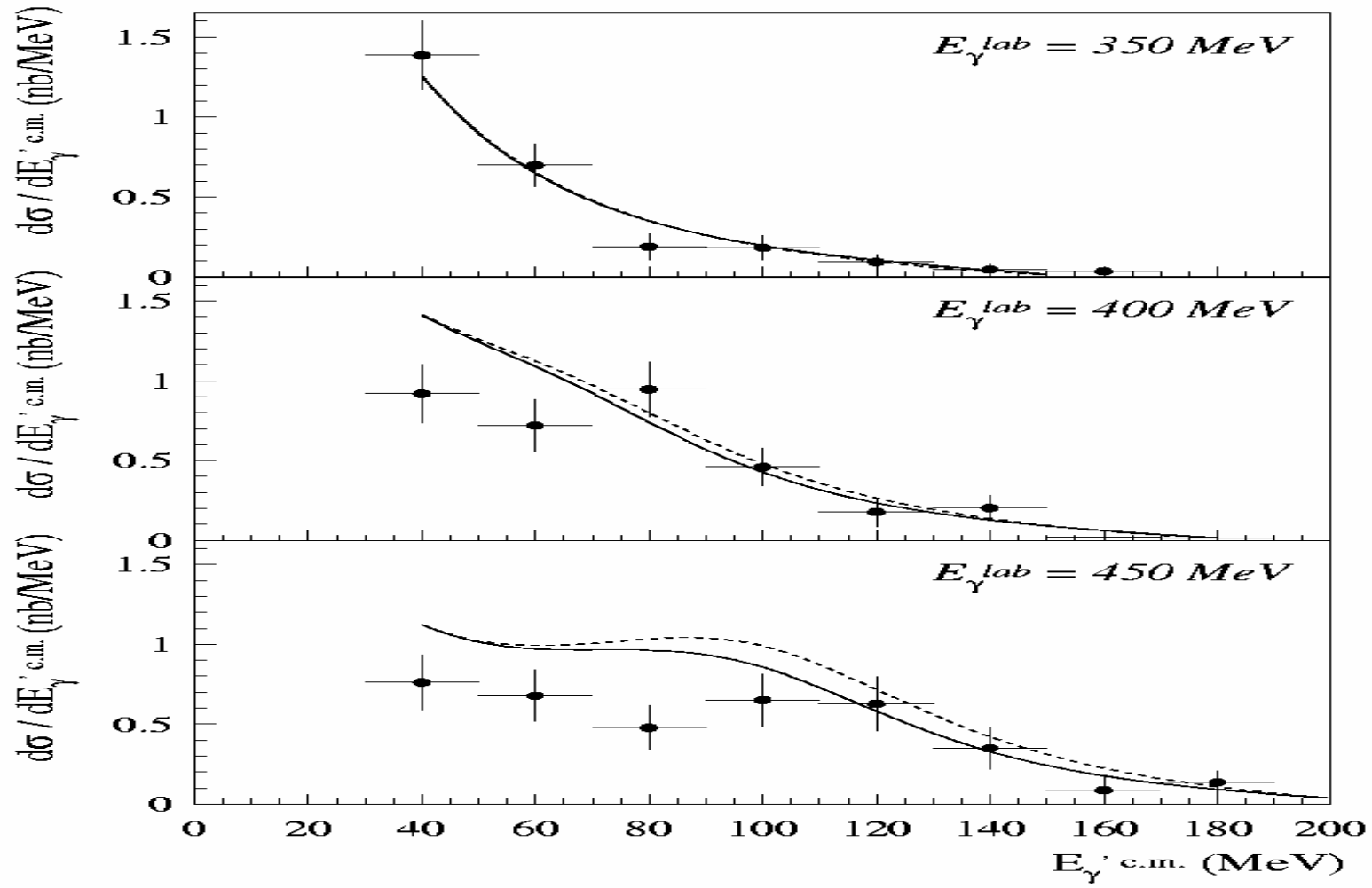


Crystal Ball (Univ.Mainz)

Лаборатория мезонной физики-2003 год

CB-M-6

$\gamma p \rightarrow \gamma \pi^0 p : \kappa_{\Delta+} = 0, 3$

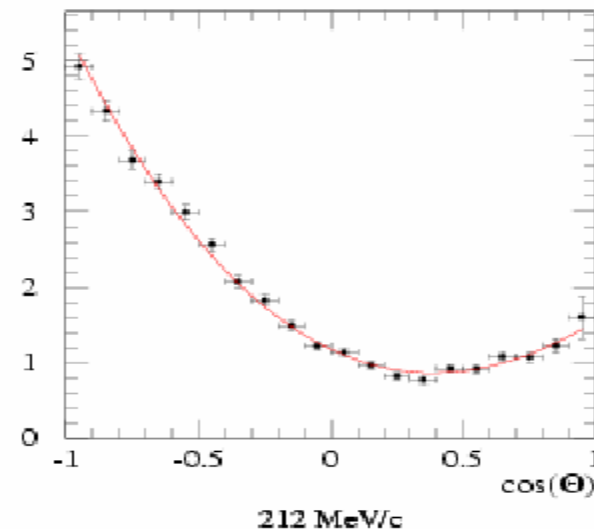
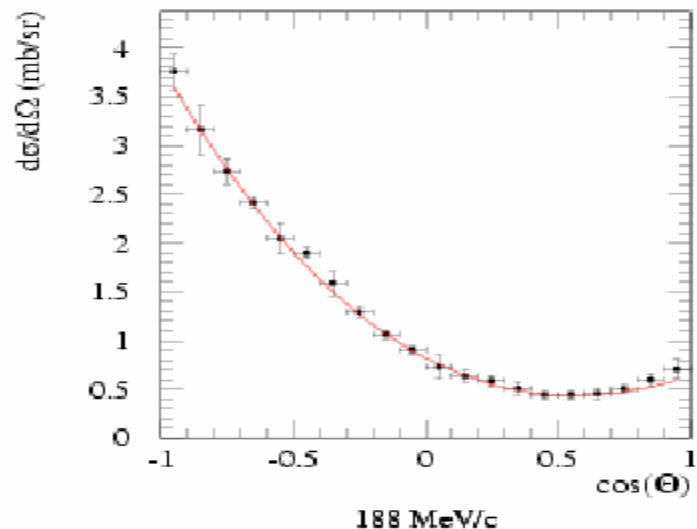
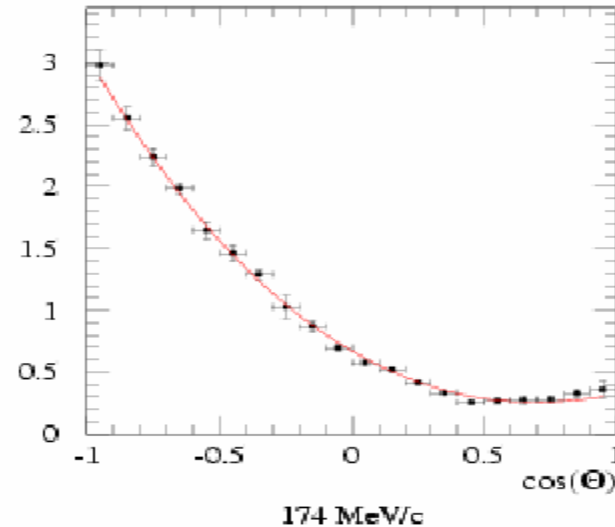
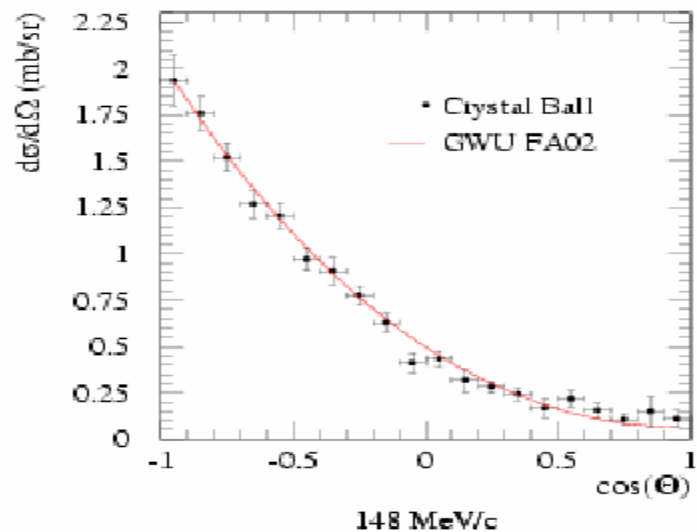


Crystal Ball (Univ.Mainz)

Лаборатория мезонной физики 2009 год

CB-B-1

Differential Cross Section

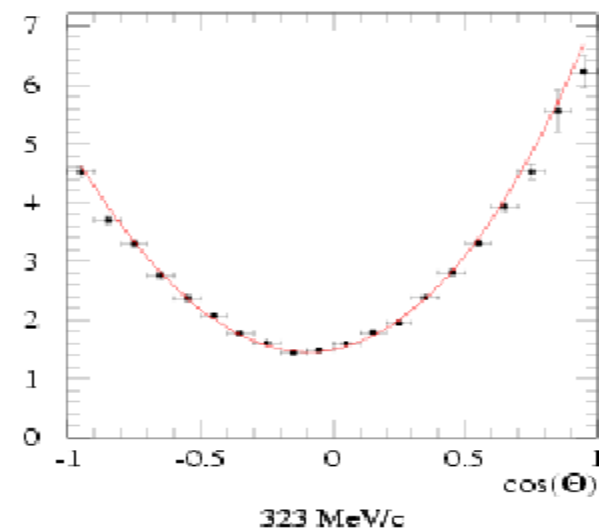
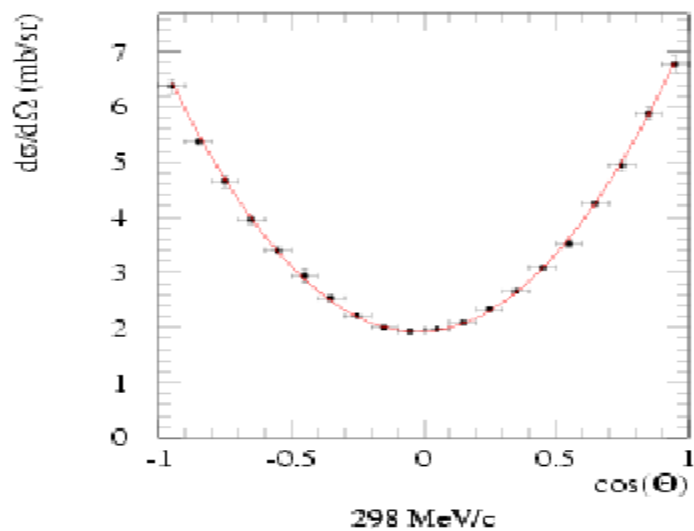
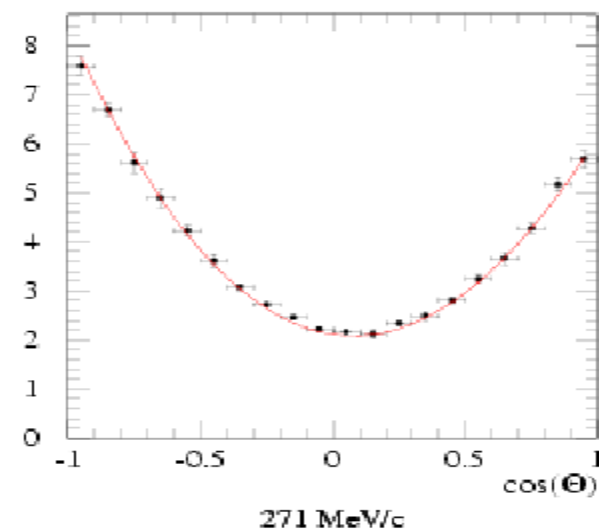
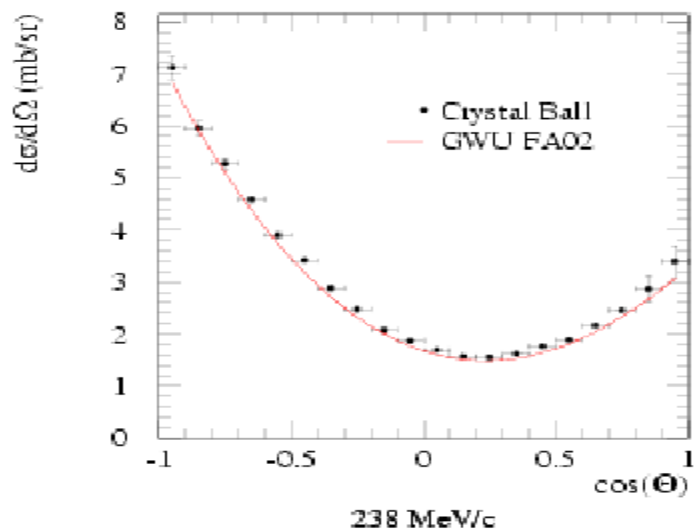


Crystal Ball (BNL)

Лаборатория мезонной физики - 2009 год

CB-B-2

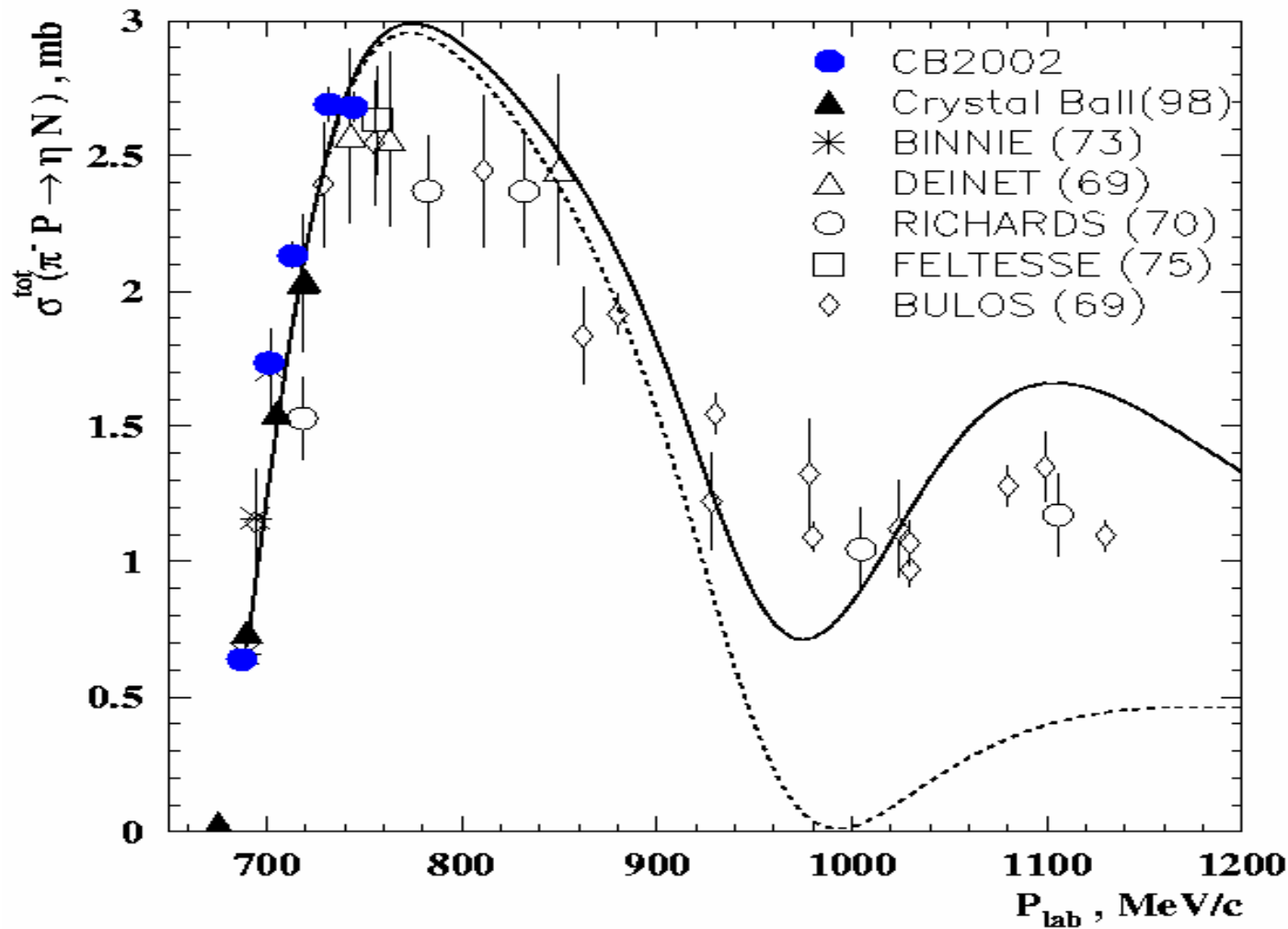
Differential Cross Section



Crystal Ball (BNL)

Лаборатория мезонной физики-2003 год

CB-B-3

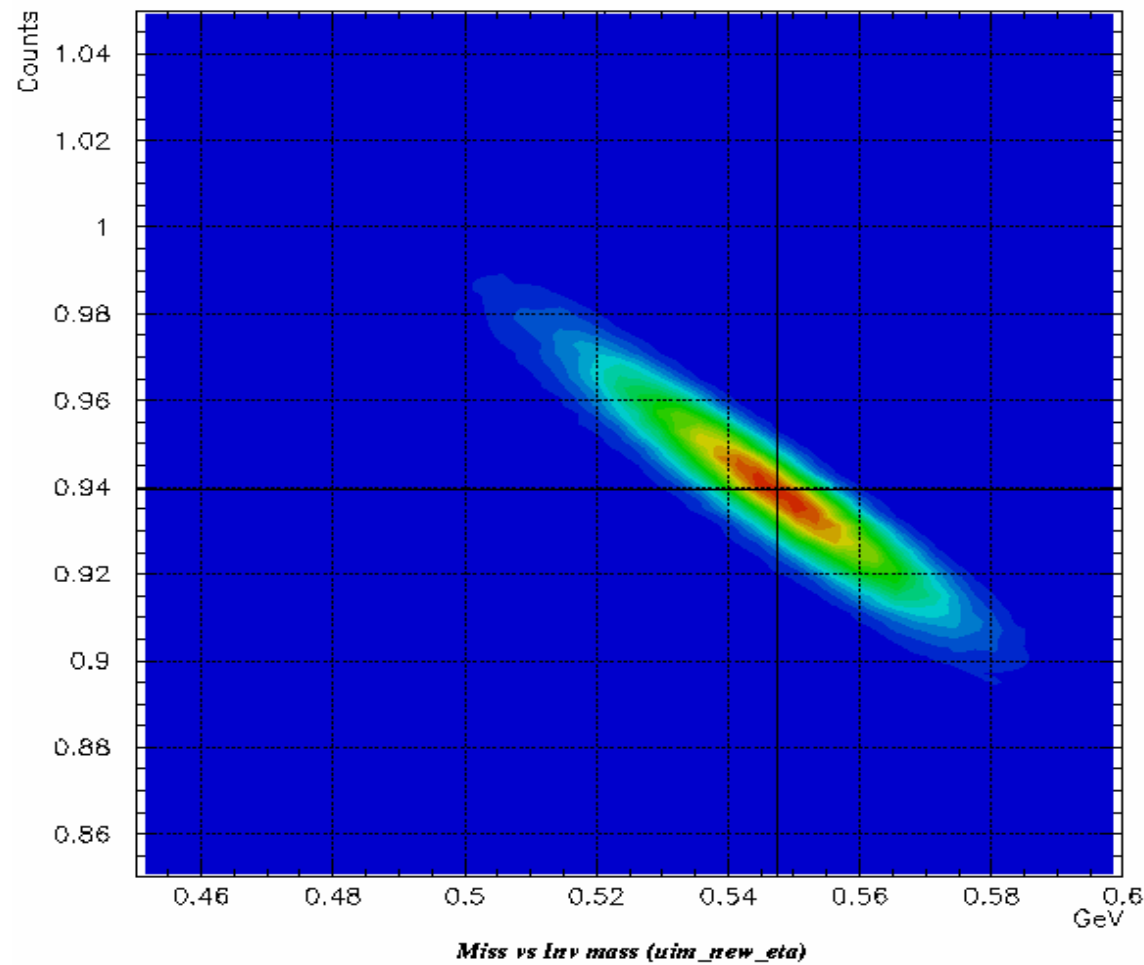


Лаборатория мезонной физики-2003 год

CB-B-4

Exp 913

2003/06/28 23.44



Crystal Ball (BNL)

Лаборатория мезонной физики-2003 год

J-PARC-1

Project for J-PARC (Japan).

In Tables 1 and 2 we present limited intervals of kinematic variables for the second resonance region of πN elastic scattering, which cover masses of baryon resonances from 1400 to 2000 MeV. The intervals were determined by analyzing zero trajectories of πN transverse amplitudes obtained for three existing global PWAs: KA84, CMB and VPI solution SM95. In column 2 and 3 those intervals of lab. pion momentum and c.m.s. scattering angle are indicated, in which the existence of discrete ambiguities is mostly probable and, hence, measurements of the spin rotation parameters A and R in pion-proton elastic scattering are needed on the first turn.

Expected counting rates can be estimated using values of c.m.s. differential cross sections given in column 4. A statistic precision at a level of $(\Delta)A \sim 0.1$ or $(\Delta)R \sim 0.1$ is enough to distinguish different PWA solutions.

Project for J-PARC (Japan)

Table 1: Elastic $\pi^+ p - \pi^+ p$ scattering.
(Regions with presumed existence of discrete ambiguities.)

Number	: Momentum region : Angle region	: Diff. cross section
:	: (MeV/c) : c.m.s.(deg.)	: (mb/sr)
1	: 700 – 900 : 90 - 110	: 0.03 - 0.18
2	: 800 – 1000 : 155 – 175	: 0.08 – 0.60
3	: 800 – 1200 : 80 – 100	: 0.13 – 0.27
4	: 1600 – 1900 : 50 – 70	: 0.08 – 0.30
5	: 1800 – 2100 : 130 – 150	: 0.03 – 0.13

Project for J-PARC (Japan).

Table 2: Elastic $\pi^- p - \pi^+ p$ scattering.
(Regions with presumed existence of discrete ambiguities.)

Number	Momentum region (MeV/c)	Angle region c.m.s.(deg.)	Diff. cross section (mb/sr)
1	600 – 800	60 - 80	0.06 - 0.20
2	600 – 800	100 – 120	1.0 – 1.4
3	1200 – 1400	150 – 170	0.30 – 0.53
4	1200 – 1500	60 – 80	0.05 – 0.23
5	1200 – 1500	90 – 110	0.25 – 0.40
6	1800 – 2100	140 – 150	0.002 – 0.010
7	2000 – 2100	130 – 150	0.001 – 0.003